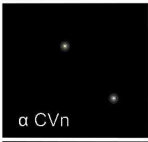
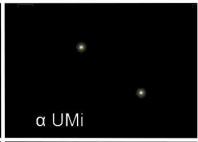
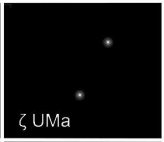

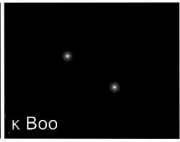

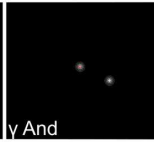
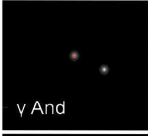

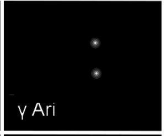
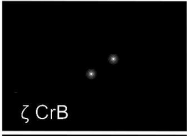
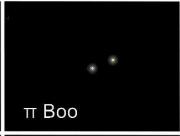

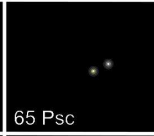

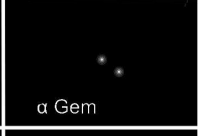
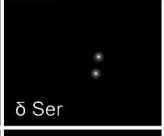


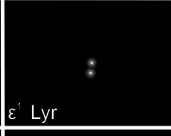
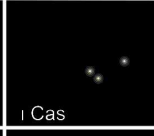
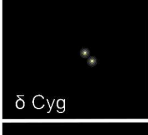
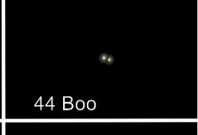
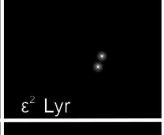





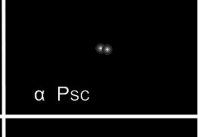

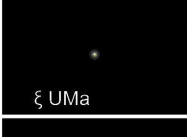
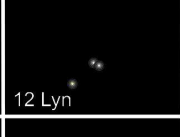


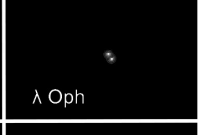


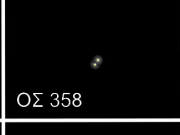

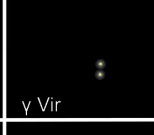

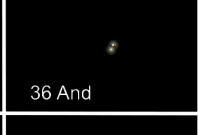
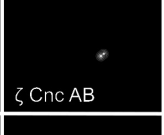


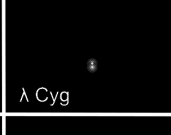
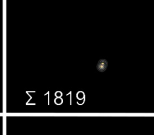


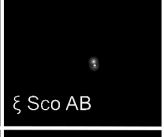
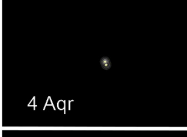




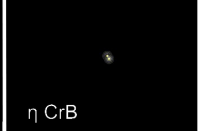






Obraz odwrócony (południe u góry), rozmiar pionowy (na niebie) obszarów przedstawionych na mapkach: 120''

 $\alpha$ CVn	 $\alpha$ UMi	 $\zeta$ UMa	 $\gamma$ Del	 $\kappa$ Boo	 $\eta$ Cas	 $\gamma$ And
 $\gamma$ And	 $\xi$ Cep	 $\gamma$ Ari	 $\zeta$ CrB	 $\pi$ Boo	 $\alpha$ Her	 65 Psc
 $\gamma$ Leo	 $\alpha$ Gem	 $\delta$ Ser	 $i$ Tri	 $\Sigma$ 2576	 $\epsilon^1$ Lyr	 $i$ Cas
 $\delta$ Cyg	 44 Boo	 $\epsilon^2$ Lyr	 $\mu^2$ Boo BC	 $\mu$ Dra	 $\zeta$ Aqr	 $\Sigma$ 2525
 $\Sigma$ 2052	 $\alpha$ Psc	 25 CVn	 $\xi$ UMa	 12 Lyn	 $\tau$ Oph	
 $\Sigma$ 1932	 $\lambda$ Oph	 O $\Sigma$ 215	 20 Dra	 O $\Sigma$ 358	 $\Sigma$ 1037	 $\gamma$ Vir
 $\Sigma$ 1338	 36 And	 $\zeta$ Cnc AB	 $\Sigma$ 228	 $\Sigma$ 186	 $\lambda$ Cyg	 $\Sigma$ 1819
 14 Ori	 7 Tau	 $\xi$ Sco AB	 4 Aqr	 $\epsilon$ Equ	 $\zeta$ Boo	 37 Peg
 $\Sigma$ 460	 $\eta$ CrB	 66 Psc	 $\phi$ And	 72 Peg	 $\Sigma$ 2924	

Obraz odwrócony (południe u góry), rozmiar pionowy (na niebie) obszarów przedstawionych na mapkach: 30''